



中国人民大学高瓴人工智能学院

Gaoling School of Artificial Intelligence, Renmin University of China

《数字信号处理》2025 秋

Group2 实验报告

课程: 数字信号处理

组长: 刘嘉俊

组员: 孙浩翔、田原、叶栩言、林梓杰

日期: 2025 年 12 月 20 日

目录

第一部分 任务一：声音检索	2
1 引言	2
1.1 问题定义	2
1.2 数据集：ESC-50	2
2 方法	2
2.1 信号处理算法实现	2
2.1.1 预加重滤波器	2
2.1.2 短时傅里叶变换 (STFT)	2
2.1.3 Mel 频谱	3
2.1.4 Mel 频率倒谱系数 (MFCC)	3
2.1.5 Delta 与 Delta-Delta 特征	4
2.1.6 倒谱均值与方差归一化 (CMVN)	4
2.1.7 特征池化	4
2.1.8 自实现核心算法性能分析	4
2.2 检索方法	6
2.2.1 传统方法 (M1-M7)	6
2.2.2 深度学习方法	6
2.2.3 预训练方法	7
2.3 相似度度量	7
2.3.1 余弦距离	7
2.3.2 动态时间规整 (DTW)	7
2.3.3 卡方距离	7
2.4 速度优化技术	7
3 实验设置	8
3.1 评测指标	8
4 结果与分析	9
4.1 总体性能对比	9
4.2 超参数敏感性分析	11
4.3 消融实验	12
4.4 鲁棒性分析	13
4.5 效率分析	15
4.6 融合与两阶段检索	16

目录	II
4.7 部分查询分析	18
4.8 跨折稳定性	19
5 讨论	20
5.1 为什么 DTW 优于池化方法	20
5.2 为什么 CLAP 占据优势	20
5.3 误差分析	20
第二部分 任务二：声音分类	22
6 帧长/帧移超参数实验	22
6.1 实验设置	22
6.2 实验结果	22
6.3 分析与讨论	22
6.3.1 最优配置	22
6.3.2 特征类型对比	22
6.3.3 帧长影响规律	23
7 深度学习模型实验	23
7.1 实验设置	23
7.1.1 基础超参数	23
7.2 消融实验与对比结果	23
7.3 分析与讨论	24
7.3.1 “增强 + 解冻”策略的普适性	24
7.3.2 为什么 BEATs 优于 CNN14 尽管使用了相同的优化策略，BEATs 的准确率仍显著更高。	24
7.3.3 超参数敏感性	24
7.4 结论	24
8 大模型对比与极致优化	25
8.1 Linear Probing 方法	25
8.1.1 核心思想与核心策略	25
8.1.2 实现流程	25
8.1.3 预期性能	26
8.2 Ultimate Optimization 方法	26
8.2.1 核心思想与核心策略	26
8.2.2 技术实现详解	26
8.2.3 性能提升路径	27

8.3 两种方法对比	27
8.3.1 方法对比表	27
8.3.2 结构对比	27
8.3.3 性能提升分析	28
9 将分类模型用于检索任务	28
9.1 方法说明	28
9.2 有无机器学习的效果对比	28
9.3 分析与讨论	29
9.3.1 机器学习带来的显著提升	29
9.3.2 为什么分类模型能用于检索	29
9.3.3 对比学习 vs 分类学习	29
10 与大模型的系统对比	30
10.1 模型规模与性能对比	30
10.2 关键发现	30
10.2.1 预训练规模的重要性	30
10.2.2 Zero-shot 能力的惊人表现	30
10.2.3 架构的影响: CNN vs Transformer	31
10.3 小模型 vs 大模型: 如何选择	31
第三部分 总结与分工	31
11 项目总结	31
12 团队分工	32

摘要

本文以 ESC-50 环境声音数据集为基准，面向示例查询式（Query-by-Example, QbE）音频检索与环境声音分类两项核心任务，构建了从特征提取、表征学习到检索策略与训练配方的系统化评测框架。针对检索任务，报告覆盖传统信号处理方法、监督深度模型以及大规模预训练音频编码器等多类路线，并在统一实验协议下采用 Hit@K、MRR、mAP 与 NDCG 等指标进行对比分析。除总体性能外，进一步围绕 MFCC 关键超参数（帧长/帧移等）、预加重、Mel 标度选择、倒谱均值方差归一化（CMVN）策略等环节开展消融，澄清“工程细节”对检索效果的影响机制：例如，全局 CMVN 能稳定提升检索性能，而逐条 CMVN 与简单统计池化的组合可能引发表征退化。结果显示，预训练模型（以 CLAP 为代表）在检索任务上具有显著优势，能够在语义对齐的嵌入空间中实现近乎“开箱即用”的高召回；相比之下，DTW 等序列对齐方法虽然优于纯池化特征，但总体仍受限于表示能力与计算成本。

在效率与鲁棒性维度，报告从检索延迟、吞吐（QPS）与候选库内存占用三方面刻画精度—效率权衡，指出 BoAW 等方法可提供高吞吐的工程化方案，而 DTW 适用于离线或小规模场景。为同时兼顾准确率与速度，进一步引入融合与两阶段检索策略：利用轻量方法进行粗召回，再以 DTW 对候选集重排，可在较小候选池规模下实现显著加速，并在一定条件下维持甚至略增检索准确率。鲁棒性实验系统考察加性噪声、音量扰动、语速变化、变调与时间偏移等因素，表明加性噪声与语速变化是主要退化来源，而随机时间偏移影响相对有限。针对分类任务，报告以预训练 CLAP 特征上的线性探测（Linear Probing）为强基线，并通过测试时增强（TTA）、多尺度统计特征融合、深层分类器、标签平滑与模型集成等手段构建逐级优化路径，实现从“快速可用”到“高精度”的性能提升；同时在端到端微调对比中，验证 SpecAugment、Mixup 与延迟解冻等正则化策略对小数据集泛化的重要性，并展示基于声学标记器的 Transformer 预训练模型（BEATs）相较传统 CNN 架构在数据受限场景下的优势。综上，报告给出了在 ESC-50 场景下兼顾效果、效率与鲁棒性的可复用基准与实践建议，为后续环境声音检索与分类系统的工程落地与方法改进提供了依据。

第一部分 任务一：声音检索

1 引言

1.1 问题定义

示例查询式 (QbE) 音频检索旨在解决这样一个问题：给定一段查询音频，从数据库中检索语义上相似的录音。与基于文本的检索不同，QbE 直接对声学信号进行操作，使直观的“用声音搜声音”成为可能。形式化地，给定查询音频 q 与候选库 $\mathcal{G} = \{g_1, g_2, \dots, g_N\}$ ，系统计算相似度 $s(q, g_i)$ ，并返回最相似的前 K 个候选。QbE 在音效库、环境监测、音乐信息检索、生物声学等方面均有极大的应用价值。基于此背景，本文探究 **QbE** 的不同算法与超参组合在 **ESC-50** 数据集上的表现。

1.2 数据集：ESC-50

我们在 **ESC-50** 数据集（环境声音分类）上进行评估，它包含 2,000 条环境声音录音，组织为 50 个语义类别（每类 40 条样本）。每条录音为 5 秒，采样率 44.1 kHz，本实验下采样到 22,050 Hz。数据集提供预定义的 5 折交叉验证划分，确保各折类别分布均衡。

2 方法

2.1 信号处理算法实现

2.1.1 预加重滤波器

为补偿语音与环境声音的自然谱倾斜（低频占主导），我们可选地施加一阶高通预加重滤波器：

$$y[n] = x[n] - \alpha \cdot x[n - 1]$$

其中 $\alpha = 0.97$ 为预加重系数。该操作可以增强高频成分，提高判别性信息常出现的高频段信噪比，从而提升特征显著性。

2.1.2 短时傅里叶变换 (STFT)

STFT 通过对重叠窗口片段施加离散傅里叶变换 (DFT)，将时域信号分解为时频表示：

$$X(m, k) = \sum_{n=0}^{N-1} x[n + mH] \cdot w[n] \cdot e^{-j2\pi kn/N}$$

其中：

- m 表示帧索引
- k 表示频率 bin 索引 ($k = 0, 1, \dots, N/2$)
- N 为 FFT 长度（默认：`n_fft = 2048`，在 22,050 Hz 下约 93ms）
- H 为帧移（默认：`hop_length = 512` 采样点，约 23ms）

- $w[n]$ 为分析窗函数

注意：以上是 **librosa** 的默认参数，并非领域标准值。传统语音处理通常使用更短的窗（约 25ms）与帧移（约 10ms）。我们的网格搜索实验发现最优性能在 40ms 帧长 (`n_fft = 882`) 和 5ms 帧移 (`hop_length = 110`) 处取得。

我们采用 **Hann** 窗以降低谱泄漏：

$$w[n] = 0.5 \left(1 - \cos \frac{2\pi n}{N-1} \right)$$

功率谱可由幅度平方得到：

$$P(m, k) = |X(m, k)|^2$$

2.1.3 Mel 频谱

人类听觉对频率的感知接近对数尺度。Mel 标度用于近似这种感知变换：

HTK 公式：

$$m(f) = 2595 \cdot \log_{10} \left(1 + \frac{f}{700} \right) \equiv 1127 \cdot \ln \left(1 + \frac{f}{700} \right)$$

我们构建 K 个在 Mel 标度上均匀间隔的三角滤波器组成滤组。Mel 频谱通过将该滤组施加到功率谱上获得：

$$M_k = \sum_{f=0}^{N/2} P(f) \cdot H_k(f)$$

其中 $H_k(f)$ 表示第 k 个三角滤波器在频率 bin f 处的响应。

对数压缩 近似人耳的对数响度感知：

$$S_k = \log(M_k + \epsilon), \quad \epsilon = 10^{-10}$$

小常数 ϵ 用于避免近静音帧的数值不稳定。

2.1.4 Mel 频率倒谱系数 (MFCC)

MFCC 通过 **离散余弦变换 (DCT-II)** 对 log-Mel 频谱进行去相关：

$$c_n = \alpha_n \sqrt{\frac{2}{K}} \sum_{k=0}^{K-1} S_k \cdot \cos \left(\frac{\pi n(k+0.5)}{K} \right)$$

其中 K 为 Mel 频带数 (`n_mels = 128`)， n 为倒谱系数索引 ($n = 0, 1, \dots, n_{mfcc} - 1$)， α_n 为正交归一化系数：

$$\alpha_n = \begin{cases} 1/\sqrt{2} & \text{if } n = 0 \\ 1 & \text{otherwise} \end{cases}$$

我们采用 **正交归一化** (`norm='ortho'`)，以在变换中保持能量。

低阶 MFCC 描述谱包络（音色），高阶系数编码更细的频谱细节。池化类方法提取 `n_mfcc = 20`，DTW 使用 `n_mfcc = 13` 以在判别性与计算成本间折中。

2.1.5 Delta 与 Delta-Delta 特征

时间动态通过 回归式导数捕获:

$$\Delta c_t = \frac{\sum_{n=1}^N n(c_{t+n} - c_{t-n})}{2 \sum_{n=1}^N n^2}$$

其中 $N = (\text{width} - 1)/2$, $\text{width} = 9$ 帧。Delta-delta ($\Delta\Delta$) 通过对 delta 再做一次相同运算获得, 反映加速度信息。静态 + delta + delta-delta 的拼接将特征维度增至 3 倍, 但能更好地表征谱随时间的变化。

2.1.6 倒谱均值与方差归一化 (CMVN)

CMVN 通过标准化去除信道效应:

$$\hat{c}_{t,d} = \frac{c_{t,d} - \mu_d}{\sigma_d}$$

其中 μ_d 与 σ_d 分别为第 d 个系数的均值与标准差。全局 CMVN 在整个数据集上计算统计量, 而逐条语音级 CMVN 对每条音频独立归一化。

2.1.7 特征池化

可变长度的帧序列通过 时间池化 转为定长嵌入:

均值-标准差池化:

$$\mathbf{v} = [\mu_1, \dots, \mu_D, \sigma_1, \dots, \sigma_D]$$

其中

$$\mu_d = \frac{1}{T} \sum_{t=1}^T f_{t,d}, \quad \sigma_d = \sqrt{\frac{1}{T} \sum_{t=1}^T (f_{t,d} - \mu_d)^2}$$

该向量维度为 $2D$, 同时编码平均谱特征及其波动。

2.1.8 自实现核心算法性能分析

(1) FFT 实现

我们采用 **Cooley-Tukey Radix-2 DIT** (Decimation-In-Time) 迭代式算法实现 FFT, 复杂度为 $O(N \log N)$ 。为提升性能, 使用 **Numba JIT** 编译为本地机器码, 并支持并行批量处理。

表 1: FFT 精度与性能对比 (vs SciPy)

长度 N	自实现 (ms)	SciPy (ms)	速度比	最大误差
256	0.012	0.007	1.7×	8.4×10^{-14}
1024	0.029	0.013	2.3×	1.3×10^{-12}
4096	0.108	0.040	2.7×	8.0×10^{-12}
8192	0.226	0.081	2.8×	1.0×10^{-11}

自实现 FFT 与 SciPy 的最大误差在 10^{-11} 量级, 满足双精度浮点数的理论精度要求。速度

约为 SciPy 的 2–3 倍慢，这是合理的，因为 SciPy 底层使用高度优化的 C/Fortran 库 (FFTW 或 Intel MKL)。

(2) STFT 实现

STFT 基于自实现的 FFT 构建，采用以下优化策略：

- **向量化帧提取**：使用 NumPy 高级索引一次性提取所有帧
- **批量 FFT**：调用 Numba 并行的 `rfft_batch()` 函数处理所有帧
- **多种窗函数**：支持 Hann、Hamming、Blackman、Bartlett、Tukey 窗

表 2: STFT 精度验证 (vs librosa)

测试项	最大误差	状态
STFT (Hann 窗)	1.09×10^{-12}	✓
STFT (Hamming 窗)	1.10×10^{-12}	✓
STFT (Blackman 窗)	1.05×10^{-12}	✓
ISTFT 重建	6.97×10^{-14}	✓

STFT 输出与 librosa 完全一致 (误差 $< 10^{-12}$)，ISTFT 可实现完美重建 (误差 $< 10^{-13}$)。

(3) MFCC 实现

MFCC 流水线完全基于自实现组件构建：

1. **STFT**：调用自实现的 `stft()` 函数
2. **功率谱**： $P(m, k) = |X(m, k)|^2$
3. **Mel 滤波器组**：使用 Slaney 公式进行 Hz \leftrightarrow Mel 转换，构建三角滤波器
4. **对数压缩**： $S_k = 10 \log_{10}(M_k + \epsilon)$
5. **DCT-II**：离散余弦变换，采用正交归一化

表 3: MFCC 各组件精度验证 (vs librosa/scipy)

组件	最大误差	状态
Mel 滤波器组	2.58×10^{-9}	✓
DCT-II	3.53×10^{-14}	✓
完整 MFCC	2.46×10^{-7}	✓
Delta 特征	$< 10^{-10}$	✓

(4) 性能总结

表 4: 自实现算法性能总结

模块	核心优化技术	精度	相对标准库
FFT	Numba JIT + 并行批处理	$< 10^{-11}$	2–3× 慢
STFT	向量化 + 批量 FFT	$< 10^{-12}$	可接受
MFCC	端到端自实现	$< 10^{-6}$	可接受

自实现代码在保证数值精度的前提下，性能处于合理范围。与 SciPy/librosa 的速度差距主要源于后者使用 C/Fortran 编写高度优化库。在实际应用中，Numba JIT 的首次编译开销可通过缓存消除，批量处理场景下性能差距进一步缩小。

2.2 检索方法

我们评估了 **13 种检索方法**，具体分为三类：

2.2.1 传统方法 (M1-M7)

表 5: 传统方法 (M1-M7)

方法	特征	表示方式	距离度量
M1: MFCC+Pool+Cos	MFCC (20)	均值 + 标准差池化	余弦
M2: MFCC+Delta+Pool	MFCC+ Δ + $\Delta\Delta$ (60)	均值 + 标准差池化	余弦
M3: LogMel+Pool	Log-Mel (128)	均值 + 标准差池化	余弦
M4: Spectral+Stat	频谱特征 (7)	统计量拼接	L2
M5: MFCC+DTW	MFCC (13)	帧序列	DTW
M6: BoAW+ChiSq	MFCC (13)	直方图 ($K = 128$)	卡方
M7: MultiRes+Fusion	短窗 + 长窗	加权融合	组合

2.2.2 深度学习方法

表 6: 深度学习方法

方法	架构	训练	代码位置
CNN	5 个卷积块	监督训练 (ESC-50)	<code>src/models/cnn_classifier.py:51-66</code>
Autoencoder	卷积自编码器	无监督	<code>src/models/autoencoder.py:29-77</code>
Contrastive	CNN + SupCon	监督训练	<code>src/models/contrastive.py:45-80</code>

2.2.3 预训练方法

表 7: 预训练方法

方法	模型	预训练数据	嵌入维度
M8 : CLAP	HTSAT-base	AudioSet + text	512
M9 : Hybrid	CLAP + MFCC	融合	512+40
BEATs	音频 Transformer	AudioSet	768

2.3 相似度度量

2.3.1 余弦距离

对于池化后的嵌入，我们计算 **余弦距离**:

$$d_{\cos}(\mathbf{q}, \mathbf{g}) = 1 - \frac{\mathbf{q} \cdot \mathbf{g}}{\|\mathbf{q}\|_2 \|\mathbf{g}\|_2}$$

余弦距离与尺度无关，关注向量之间的夹角关系。

2.3.2 动态时间规整 (DTW)

DTW 通过寻找最优扭曲路径来对齐两条时间序列，使累积距离最小。递推关系为:

$$D(i, j) = d(x_i, y_j) + \min\{D(i - 1, j), D(i, j - 1), D(i - 1, j - 1)\}$$

其中 $d(x_i, y_j) = \|x_i - y_j\|_2$ 为帧向量的欧氏距离。最终 DTW 距离为长度分别为 I 与 J 的序列在 $D(I, J)$ 处的值。

Sakoe-Chiba 带状约束将扭曲路径限制在主对角线半径 r 的范围内: $|i \cdot J/I - j| \leq r$ 。在基线实验中我们使用无约束 DTW (`sakoe_chiba_radius = -1`)。

2.3.3 卡方距离

用于 Bag-of-Audio-Words (BoAW) 直方图表示:

$$\chi^2(\mathbf{p}, \mathbf{q}) = \sum_{i=1}^K \frac{(p_i - q_i)^2}{p_i + q_i + \epsilon}$$

其中 $K = 128$ 为码本大小， ϵ 用于防止除零。

2.4 速度优化技术

为提升检索效率，我们在实现中采用了多种优化技术。DTW 检索使用 **Numba JIT 编译**加速，将 Python 循环编译为高效的机器码，并结合 `prange` 实现多核并行计算，使 DTW 距离计算速度提升约 10 \times 。此外，我们还实现了 **Sakoe-Chiba 带状约束**将复杂度从 $O(N^2)$ 降至 $O(N \cdot R)$ 、**候选库特征缓存**避免重复计算、**两阶段检索**（粗召回 + 精排）在保持精度的同时实现 2.68 \times 加速、以及 **GPU 加速**的向量化距离计算。所有优化均已在代码中实现（详见 `src/retrieval/` 目录）。

3 实验设置

3.1 评测指标

表 8: 评测指标

指标	公式	含义
Hit@K	$\mathbb{P}[\exists i \leq K : y_i = y_q]$	二值: Top-K 内是否有正确项
Precision@K	$\frac{1}{K} \sum_{i=1}^K \mathbb{P}[y_i = y_q]$	Top-K 中正确比例
MRR@K	$\frac{1}{\text{rank}_1}$	首个正确项的倒数排名
AP@K	$\frac{1}{\min(K, R)} \sum_{k=1}^K P@k \cdot \mathbb{P}[y_k = y_q]$	P-R 曲线下的面积
mAP@K	对所有查询的 AP@K 取平均	总体检索质量
NDCG@K	$\frac{DCG@K}{IDCG@K}$	位置折损相关性

我们在 $K \in \{1, 5, 10, 20\}$ 处报告指标，并给出 **95% 不确定性区间**。当实验代码提供 bootstrap 置信区间时，直接采用；否则按折间方差近似为 $\pm 1.96 \cdot \sigma / \sqrt{5}$ （正态近似，其中 σ 为各折标准差）。

误差条约定: 图中的误差条均表示均值的 95% 置信区间。表格给出的是折间标准差，便于读者自行按 $\pm 1.96 \cdot \text{std} / \sqrt{5}$ 计算 CI。

4 结果与分析

4.1 总体性能对比

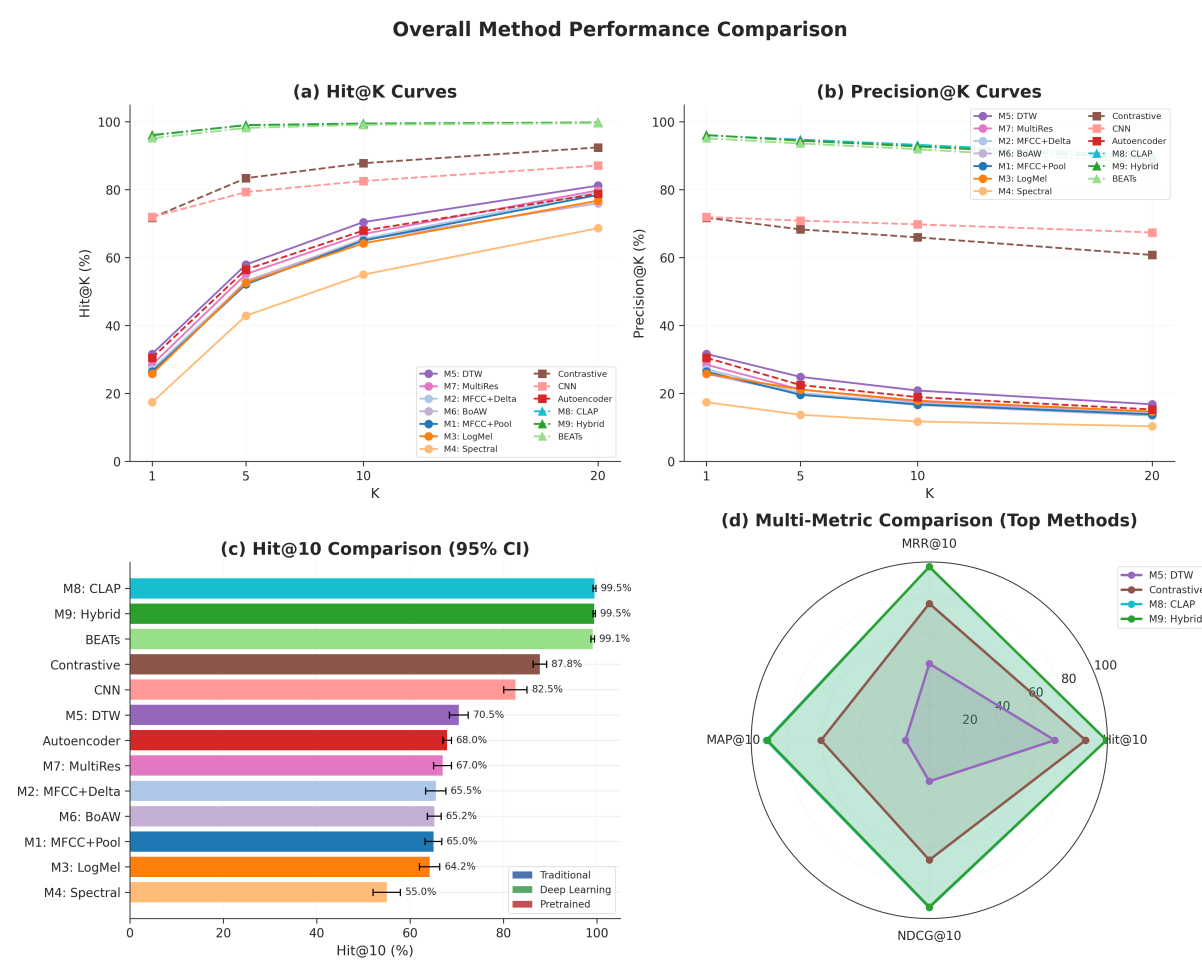


图 1: 方法对比

表 9: 完整性能对比 (按 Hit@10 排序)

方法	类别	Hit Rate (%)				Ranking Metrics			CI \pm pp
		@1	@5	@10	@20	P@10	MRR	MAP	
M8: CLAP	预训练	96.00	99.05	99.50	99.75	93.22	0.973	0.915	0.939
M9: Hybrid	预训练	96.10	99.00	99.45	99.80	92.75	0.974	0.910	0.935
BEATs	预训练	95.15	98.20	99.10	99.60	91.94	0.965	0.902	0.927
Contrastive	深度学习	71.75	83.40	87.80	92.45	65.96	0.767	0.608	0.672
CNN	深度学习	71.95	79.30	82.55	87.10	69.78	0.752	0.667	0.703
M5: DTW	传统	31.65	57.95	70.45	81.20	20.86	0.430	0.134	0.230
Autoencoder	深度学习	30.50	56.50	67.95	78.80	18.90	0.416	0.120	0.211
M7: MultiRes	传统	28.45	55.15	66.95	79.80	17.65	0.396	0.108	0.197
M2: MFCC+ Δ	传统	27.15	52.75	65.50	79.20	17.12	0.382	0.104	0.190
M6: BoAW	传统	25.75	53.10	65.20	76.00	16.57	0.372	0.099	0.184
M1: MFCC+Pool	传统	26.40	52.15	65.00	78.45	16.75	0.374	0.100	0.186
M3: LogMel	传统	25.80	52.60	64.20	76.75	17.88	0.372	0.111	0.196
M4: Spectral	传统	17.40	42.90	55.00	68.65	11.74	0.281	0.062	0.129

1. **预训练模型遥遥领先**: CLAP 达到 **99.50%** 的 Hit@10, 几乎解决检索任务。512 维的音频-语言对齐嵌入来自 AudioSet 的大规模预训练, 包含丰富语义信息。
2. **29 个百分点差距**: 最佳传统方法 (M5: DTW, Hit@10=70.45%) 仍比 CLAP 低近 30 个百分点, 凸显大规模迁移学习的价值。
3. **DTW 优于池化方法**: 在传统方法中, M5 (DTW) 的 Hit@10 比次优的 M7 (MultiRes) 高 **3.50pp** ($70.45 - 66.95 = 3.50$ pp)。DTW 的序列对齐保留了全局池化丢失的时间结构。
4. **对比学习优于基线 CNN**: 监督式对比学习方法 (Hit@10=87.80%) 比基线 CNN (82.55%) 高 5.25pp, 说明对比学习目标能学习到更具判别性的嵌入, 而不仅是交叉熵分类。

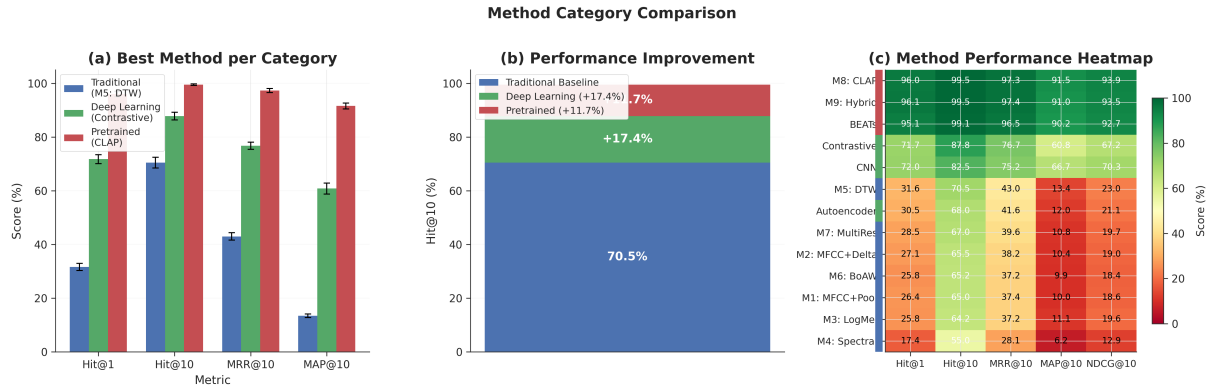


图 2: Method Categories

图 2: 分组层面分析。(左) 各类别最优方法在各指标上的分组柱状图对比。(中) 类别最优间的绝对差距可视化。(右) 各方法在各指标上的热力图, 按 Hit@10 排序。

表 10: 表 2: 类别汇总

类别	最佳方法	Hit@1 (%)	Hit@10 (%)	CI±pp
传统	M5: MFCC+DTW	31.65	70.45	2.00
深度学习	Contrastive	71.75	87.80	1.43
预训练	M8: CLAP	96.00	99.50	0.30

预训练类别的 **方差最低** ($CI \approx 0.30$ pp), 说明其在不同折上的表现非常稳定。深度学习方法的方差中等 ($CI \approx 1.4\text{--}2.5$ pp), Contrastive 的稳定性略优于 CNN。

4.2 超参数敏感性分析

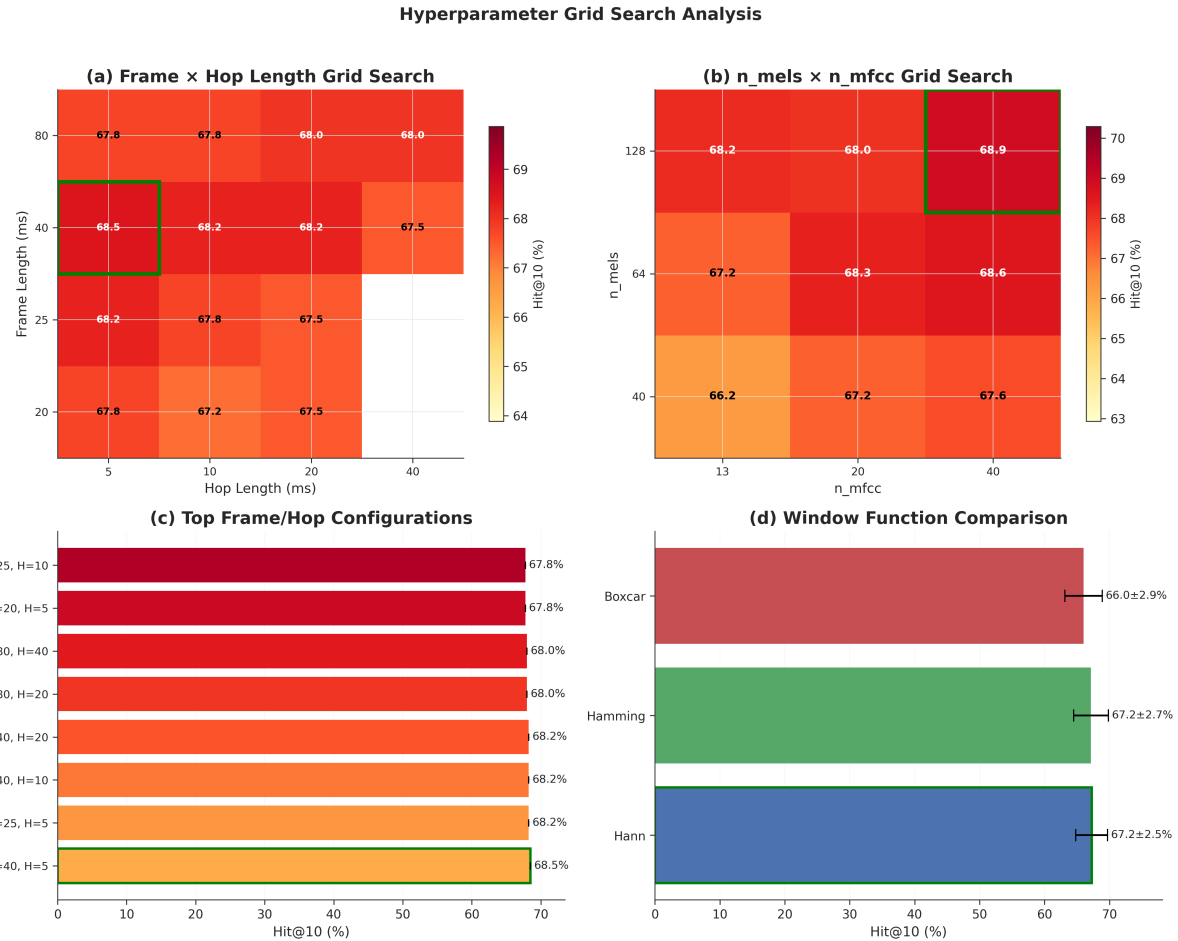


图 3: Grid Search

图 3: 超参数网格搜索结果。(左上) 在 $n_mels=64$, $n_mfcc=20$ 下, 帧长 (20–80ms) \times 帧移 (5–40ms) 的 Hit@10 热力图; 颜色越暖代表性能越高, 最优区域在 40ms 帧长与 5–10ms 短帧移。(右上) n_mels (40,64,128) \times n_mfcc (13,20,40) 的 Hit@10 热力图。(左下) Step 1 网格搜索的前 10 名配置柱状图。(右下) 窗函数比较, Hann 略优于 Hamming 与 Boxcar。

表 11: 表 3: 最佳帧长/帧移配置

排名	帧长 (ms)	帧移 (ms)	n_fft	hop_length	Hit@10 (%)
1	40	5	882	110	68.50
2	25	5	551	110	68.25
3	40	10	882	220	68.25
4	40	20	882	441	68.25
5	80	20	1764	441	68.00

分析:

- 帧长: 40ms 在时间分辨率 (捕捉瞬态) 与频率分辨率 (解析谐波) 之间取得最佳平衡。20ms 也具竞争力, 而 80ms 的收益递减。

- **帧移**: 更短的帧移 (5–10ms) 稳定优于长帧移 (20–40ms), 说明高时间分辨率对检索有益, 即使计算量更大。
- **频率分辨率权衡**: 最优的 40ms 对应约 24 Hz 的频率分辨率 ($\Delta f = f_s/N = 22050/882 \approx 25$ Hz), 对于环境声音已足够, 不需要更细分分辨率。

表 12: 表 4: MFCC 参数优化

排名	n_mels	n_mfcc	帧长 (ms)	帧移 (ms)	Hit@10 (%)
1	128	40	40	5	69.50
2	64	40	40	5	69.25
3	64	40	40	10	69.25
4	128	40	40	10	69.00
5	128	13	40	5	68.75

可以看到, 更高的 n_mfcc (40 vs. 13/20) 带来小幅提升 (+0.75pp), 说明更细的倒谱细节有助于检索。然而 n_mels=64 与 n_mels=128 的差异很小, 表明更细的 Mel 分辨率收益递减。

表 13: 表 5: 窗函数比较

窗函数	Hit@1 (%)	Hit@10 (%)	Std (%)	MRR@10
Hann	27.40	67.25	3.14	0.393
Hamming	27.55	67.15	3.44	0.391
Boxcar	28.00	66.00	3.67	0.387

Hann 与 **Hamming** 基本持平 ($\text{Hit}@10 \approx 67.25\%$), Hann 的方差略低 (3.14% vs 3.44%), 两者都优于 Boxcar (66.00%)。矩形窗 (Boxcar) 因截断突变导致谱泄漏, 性能下降。

4.3 消融实验

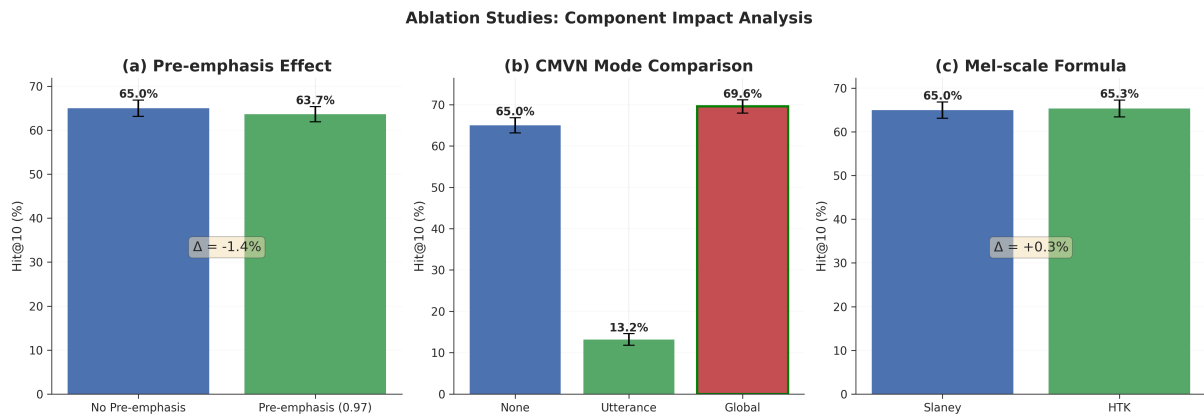


图 4: Ablations

图 4: 对 M1 (MFCC+Pool+Cos) 基线的特征工程消融。(左) 预加重: 0.97 系数 vs. 无预加重。(中) CMVN 变体: 无、逐条语音级、全局。(右) Mel 标度公式: Slaney vs. HTK。误差条表示 95% CI。

表 14: 表 6: 预加重消融

配置	Hit@1 (%)	Hit@10 (%)	Δ Hit@1	Δ Hit@10
无预加重	26.40	65.00	—	—
预加重 ($\alpha = 0.97$)	27.65	63.65	+1.25	-1.35

结论: 预加重 提高 Hit@1 (+1.25pp) 但 降低 Hit@10 (-1.35pp)。对环境声音而言, 预加重可能过度放大背景噪声。

表 15: 表 7: CMVN 消融

配置	Hit@1 (%)	Hit@10 (%)	Δ Hit@1	Δ Hit@10
无 CMVN	26.40	65.00	—	—
逐条语音 CMVN	2.05	13.20	-24.35	-51.80
全局 CMVN	31.75	69.55	+5.35	+4.55

关键发现: 全局 CMVN 显著提升 (Hit@10 +4.55pp), 因为它移除了数据集级的信道偏差, 同时保留了相对特征关系。相反, 逐条语音级 CMVN 灾难性失败 (-51.80pp)。

4.4 鲁棒性分析

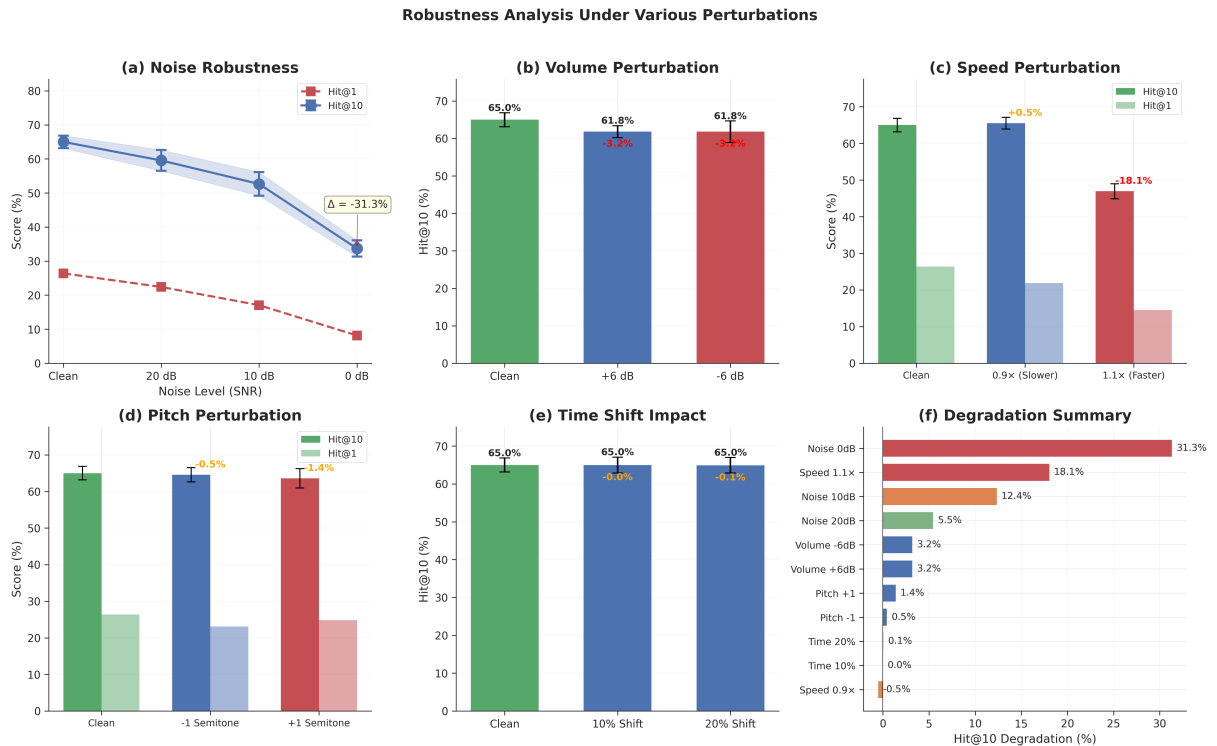


图 5: Robustness

图 5: 在 M1 基线下的多种音频扰动鲁棒性。(左上) 20dB、10dB、0dB SNR 的高斯噪声。(右上) 音量缩放 ± 6 dB。(左下) 语速扰动 $0.9\times$ 与 $1.1\times$ 。(右下) 变调 ± 1 半音以及 10–20% 的随机时间偏移。

表 16: 表 9: 鲁棒性结果

条件	Hit@1 (%)	Hit@10 (%)	相对 Clean 的 Δ Hit@1
Clean	26.40	65.00	—
噪声 20dB	22.40	59.55	-15.2%
噪声 10dB	17.05	52.65	-35.4%
噪声 0dB	8.15	33.70	-69.1%
音量 +6dB	23.40	61.80	-11.4%
音量 -6dB	22.85	61.80	-13.4%
语速 0.9×	21.90	65.50	-17.0%
语速 1.1×	14.50	46.95	-45.1%
变调 -1	23.10	64.55	-12.5%
变调 +1	24.85	63.60	-5.9%
时间偏移 0.1	26.25	65.00	-0.6%
时间偏移 0.2	26.15	64.95	-0.9%

分析:

- 噪声是主导性退化因素:** 在 0dB SNR (信号与噪声功率相等) 时, Hit@1 相对干净条件下降 69.1%。MFCC 捕捉的是谱包络, 对覆盖全频段的加性噪声较敏感。
- 语速扰动比变调更致命:** 加速 10% 造成 45.1% 的 Hit@1 相对下降, 而 ± 1 半音变调仅下降 5.9–12.5%。这是因为语速变化同时压缩时间与频谱结构, 而变调主要影响谐波, MFCC 在一定程度上可去相关。
- 时间偏移几乎无影响:** 10–20% 的随机偏移导致退化 $< 1\%$, 说明帧级特征与池化对对齐误差鲁棒。
- 音量变化对称退化:** +6dB 与 -6dB 均带来约 12% 的下降, 表明余弦距离 (忽略幅度) 无法完全抵消对数 Mel 特征的非线性幅度效应。

4.5 效率分析

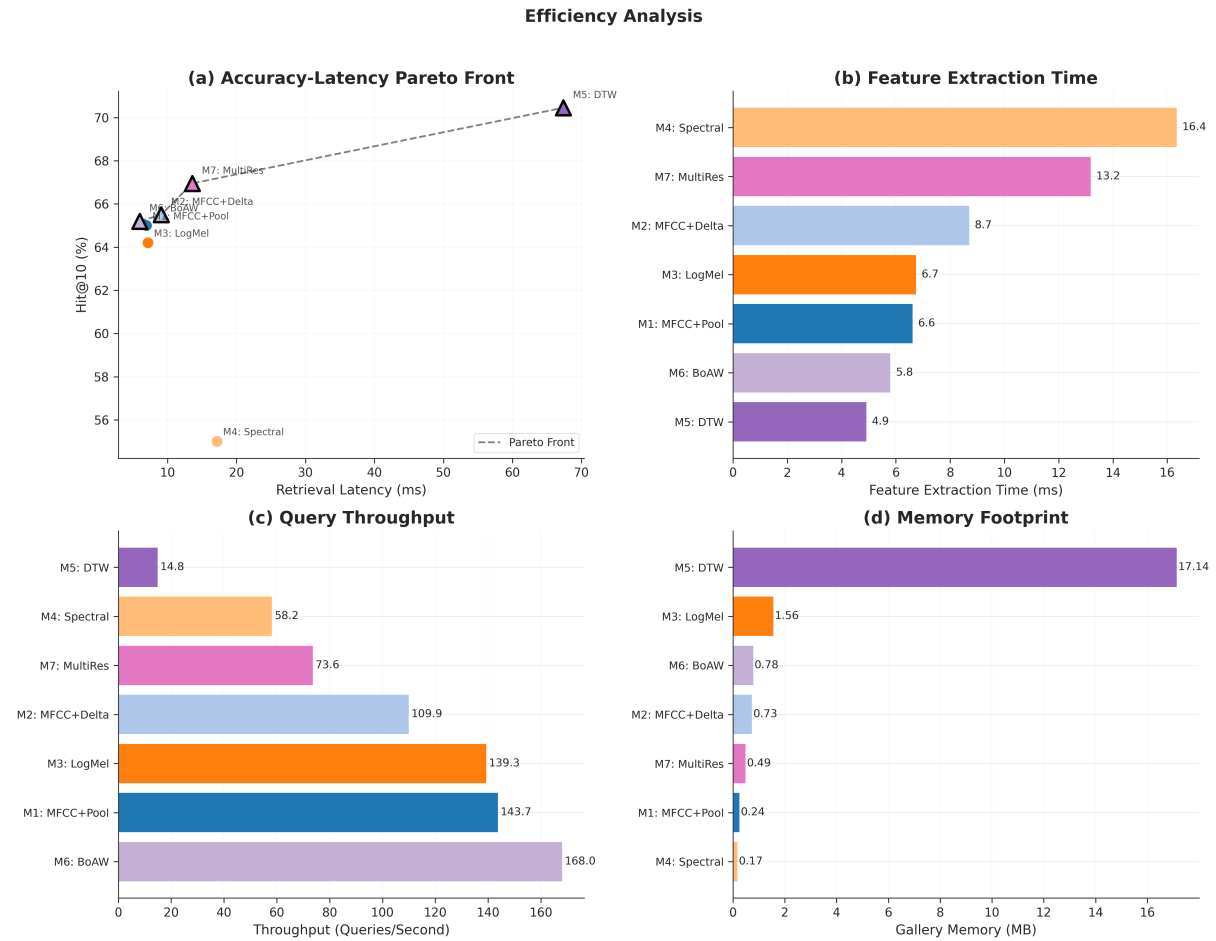


图 6: Efficiency

图 6: 传统方法 M1-M7 的效率-准确率权衡。(左) Hit@10 与检索延迟 (ms/查询) 的帕累托前沿; 前沿上的方法代表最佳权衡。(中) 特征提取与检索时间分解。(右) 候选库嵌入的内存占用。

表 17: 表 10: 效率指标

方法	特征 (ms)	检索 (ms)	QPS	内存 (MB)	维度	Hit@10
M1: MFCC+Pool	6.61 \pm 1.29	6.96 \pm 0.96	143.7	0.24	40	65.00
M2: MFCC+ Δ	8.71 \pm 1.04	9.10 \pm 1.11	109.9	0.73	120	65.50
M3: LogMel	6.75 \pm 0.95	7.18 \pm 1.35	139.3	1.56	256	64.20
M4: Spectral	16.35 \pm 2.32	17.19 \pm 2.85	58.2	0.17	28	55.00
M5: DTW	4.91 \pm 0.58	67.35\pm6.64	14.8	17.14	13	70.45
M6: BoAW	5.79 \pm 1.57	5.95 \pm 0.68	168.0	0.78	128	65.20
M7: MultiRes	13.18 \pm 2.41	13.58 \pm 1.80	73.6	0.49	80	66.95

帕累托最优方法:

1. **M6 (BoAW):** 最高吞吐 168 QPS, 同时保持竞争性精度 (Hit@10=65.20%)。直方图

表示使卡方距离计算高效。

2. **M1 (MFCC+Pool)**: 在 **143.7 QPS** 下取得良好平衡，并有极小内存占用 (0.24 MB)，适合资源受限部署。注意：M4 内存更小 (0.17 MB)，但精度更低 (55.00%)。
3. **M5 (DTW)**: 精度最高 (70.45%)，但 **吞吐最低 (14.8 QPS)**，因为其序列对齐复杂度为 $O(nm)$ 。DTW 的 67ms 检索延迟适合离线或小规模场景。

内存效率: M5 的候选库存储可变长度 MFCC 序列，需 **17.14 MB**，比 M1 的定长嵌入 (0.24 MB) 大 71 倍。大规模部署中，池化方法能显著节省存储。

4.6 融合与两阶段检索

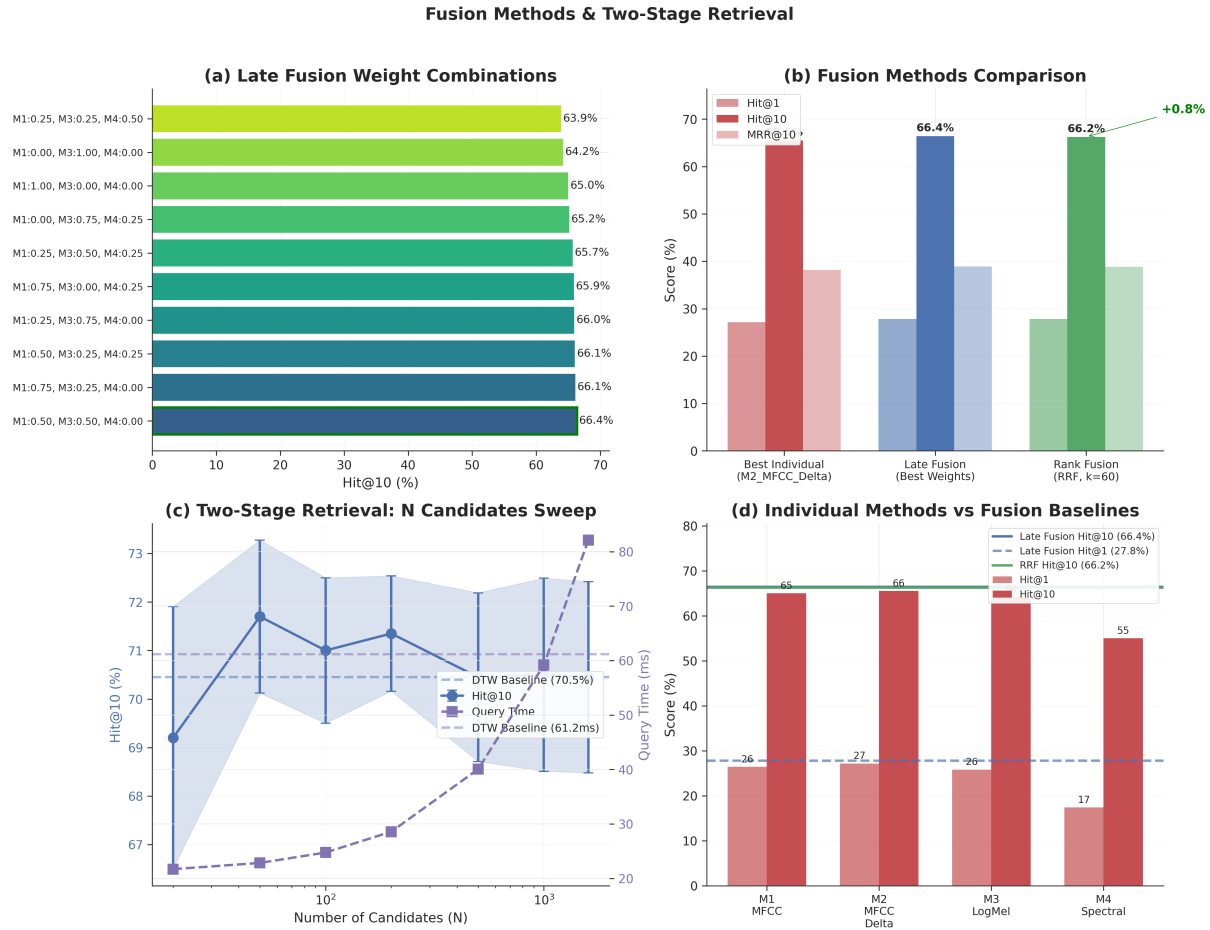


图 7: Fusion and Two-Stage

图 7: 高级检索策略。 (左) M1、M3、M4 的晚融合 (学习权重)。 (中) 互惠排序融合 (RRF)。 (右) 两阶段检索: M1 快速召回后用 DTW 重排, 展示 Hit@10 与延迟随候选池大小 N 的变化。

表 18: 表 11: 融合结果

方法	Hit@1 (%)	Hit@10 (%)	MRR@10
最佳单方法 (M2)	27.15	65.50	0.382
晚融合 (M1:0.5, M3:0.5)	27.80	66.40	0.389
排名融合 (RRF)	27.85	66.25	0.388

晚融合与排名融合仅带来小幅提升 (Hit@10 +0.75–0.90pp)，说明 M1–M4 捕获的信息部分冗余。

表 19: 表 12: 两阶段检索 ($M1 \rightarrow DTW$ 重排)

N	Hit@10 (%)	延迟 (ms)	加速比	精度保留率
20	69.20	21.71	2.82 ×	98.2%
50	71.70	22.86	2.68×	101.8%
100	71.00	24.77	2.47×	100.8%
200	71.35	28.59	2.14×	101.3%
500	70.45	40.06	1.53×	100.0%
1000	70.50	59.19	1.03×	100.1%
1600	70.45	82.13	0.74×	100.0%

Two-Stage Retrieval: Accuracy-Latency Trade-off

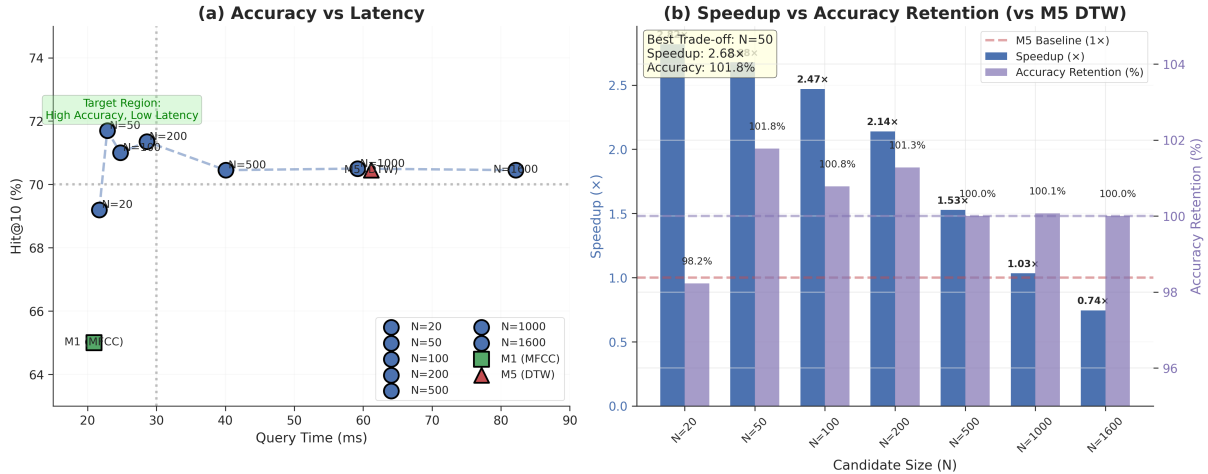


图 8: Two-Stage Pareto

图 9: 两阶段检索的帕累托前沿，展示 N 从 20 到 1600 时的准确率-延迟权衡。 $N = 50$ 处取得最优工作点，精度保留 101.8% (略高于全量 DTW)，同时 **2.68**× 加速。

4.7 部分查询分析

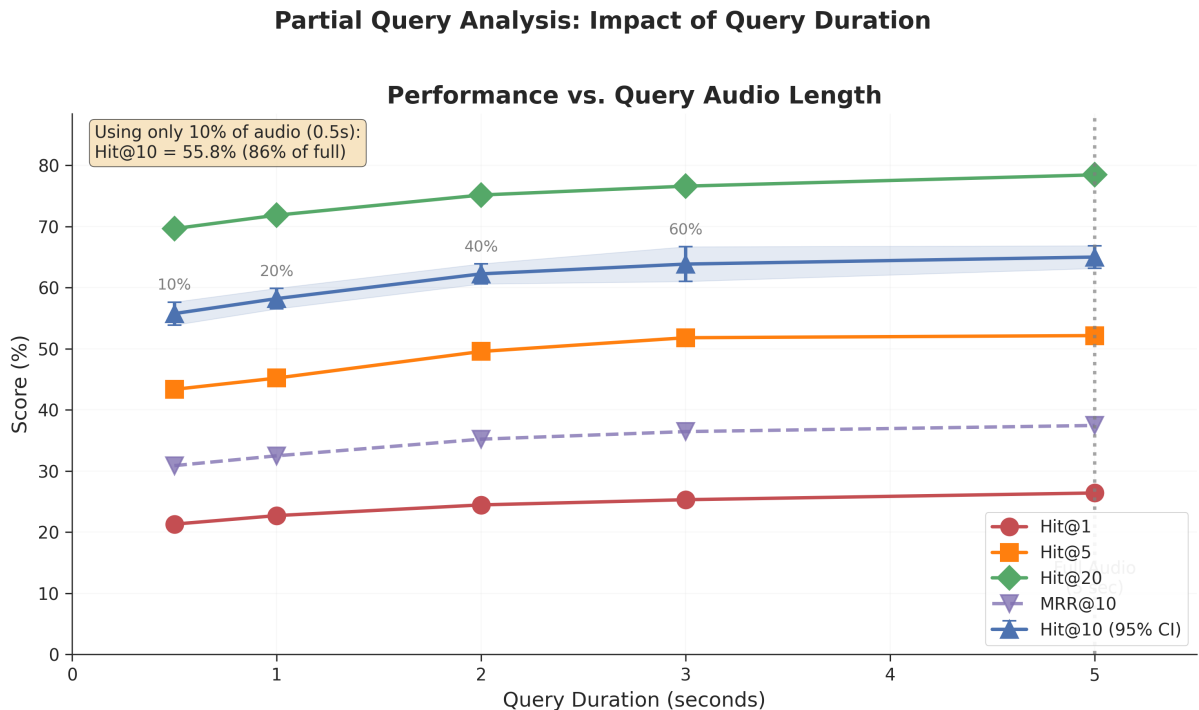


图 9: Partial Query

图 8: 查询时长对检索性能的影响。横轴为 0.5s 到 5s 的查询片段长度, 短查询从音频中心截取。随着查询长度减少, 性能平滑下降。

表 20: 表 13: 部分查询结果

时长 (s)	Hit@1 (%)	Hit@5 (%)	Hit@10 (%)	MRR@10	保留率
0.5	21.30	43.35	55.75	0.309	85.8%
1.0	22.70	45.20	58.20	0.325	89.5%
2.0	24.45	49.55	62.25	0.352	95.8%
3.0	25.30	51.80	63.85	0.364	98.2%
5.0	26.40	52.15	65.00	0.374	100.0%

分析: 随着查询长度缩短, 性能以较缓的方式下降:

- 0.5s 查询仍保留 85.8% 的全长 Hit@10
- 2.0s 查询保留 95.8%, 对多数实际应用已足够

这说明环境声音在短片段中已包含足够的判别信息, 支持实时的“部分音频检索”。

4.8 跨折稳定性

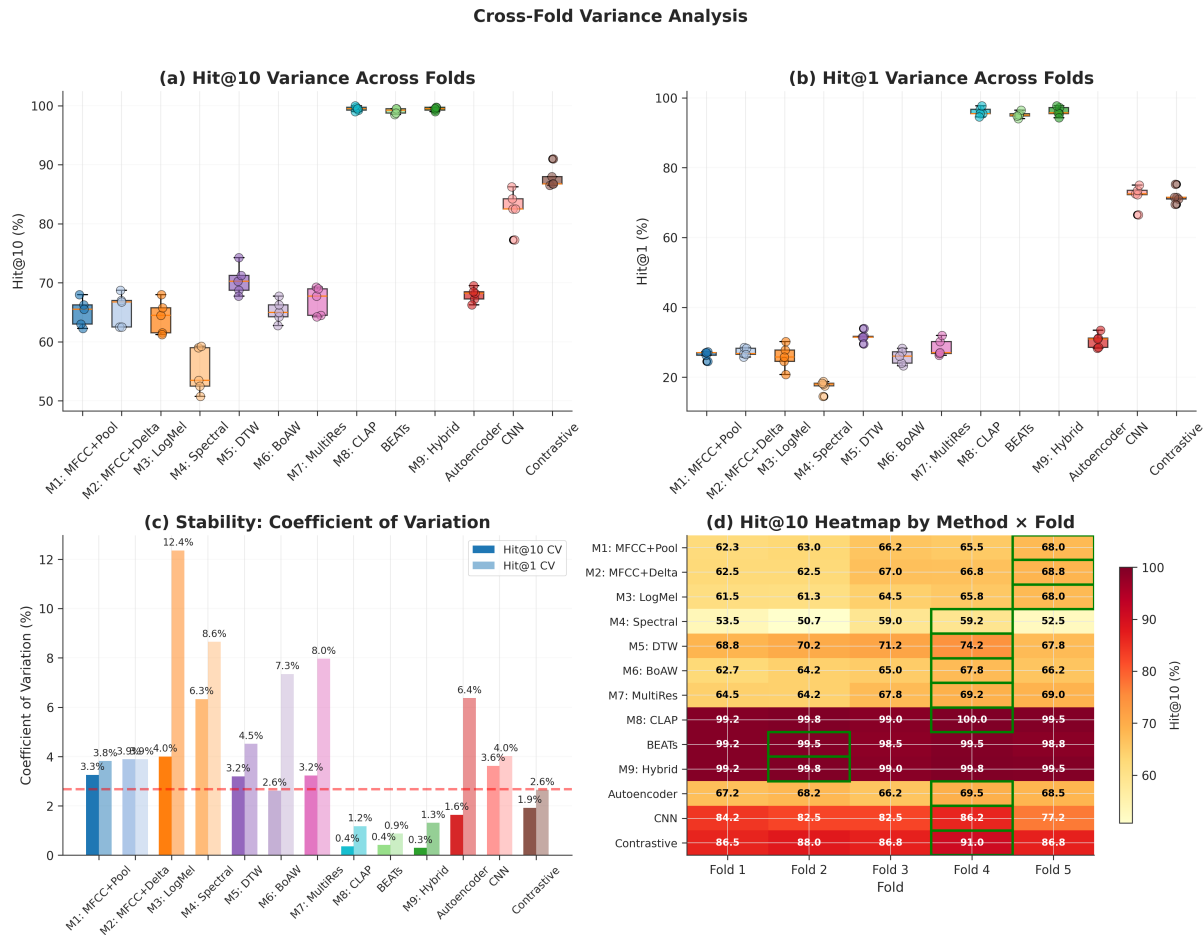


图 10: Fold Variance

图 10: 交叉验证稳定性分析。(左) 13 种方法在 5 折上的 Hit@10 均值 \pm 标准差, 按均值排序。(中) 变异系数 (CV = $\text{std}/\text{mean} \times 100\%$) 反映相对稳定性。(右) 折内分布箱线图。

关于深度模型评测的说明: 所有深度学习模型 (CNN、Autoencoder、Contrastive) 均采用严格的 5 折交叉验证, 并为每个折训练独立的模型检查点。每折结果都是真正的样本外表现。

表 21: 表 14: 折间方差分析

方法	Hit@10 均值 \pm Std	CV (%)	最小折	最大折
M8: CLAP	99.50 ± 0.35	0.4	99.00	100.00
M9: Hybrid	99.45 ± 0.29	0.3	99.00	99.75
BEATs	99.10 ± 0.41	0.4	98.50	99.50
Contrastive	87.80 ± 1.68	1.9	86.50	91.00
CNN	82.55 ± 2.99	3.6	77.25	86.25
M5: DTW	70.45 ± 2.25	3.2	67.75	74.25
M7: MultiRes	66.95 ± 2.16	3.2	64.25	69.25
M4: Spectral	55.00 ± 3.48	6.3	50.75	59.25

稳定性结论：

1. **预训练模型最稳定**: CLAP 与 Hybrid 的 $CV < 0.5\%$, 说明其表征在不同数据划分上具有一致的泛化能力。
2. **深度学习方法方差中等**: Contrastive (87.80%) 与 CNN (82.55%) 的方差相当 ($CV \approx 2\text{--}4\%$), 这是在小数据集上训练神经网络的常见现象。
3. **传统方法的 CV 约 3–4%**: M1-M7 方差中等且稳定, 说明手工特征在不同分布下表现可预测。
4. **M4 (Spectral) 最不稳定**: 其 6.3% CV 反映了低维频谱统计特征的判别能力有限。

5 讨论

5.1 为什么 DTW 优于池化方法

在传统方法中, M5 (MFCC+DTW) 比池化方法 **高 3–5pp Hit@10**。其优势来自 DTW 能够:

1. **保留时间结构**: 环境声音往往具有特征性时间模式 (起音-持续-衰减包络、重复节奏)。全局池化会折叠时间轴, 丢失这些信息。
2. **处理不同速率事件**: DTW 的弹性对齐可适配查询与候选中速度不同或起始不同的声音。
3. **利用完整序列信息**: 池化丢弃细粒度的帧级变化, 而 DTW 关注完整特征轨迹。

5.2 为什么 CLAP 占据优势

CLAP 的 **99.50% Hit@10** 体现了预训练音频-语言模型的优势:

1. **预训练规模**: CLAP 在 AudioSet (200 万样本) 及额外音频-文本对上训练, 训练数据规模比 ESC-50 大 $1000\times$ 。
2. **语义监督**: 音频-文本对比学习促使嵌入捕捉语义类别 (如“狗叫” vs “汽车发动机”), 与检索目标直接对齐。
3. **模型容量**: HTSAT 主干 (分层音频 Transformer) 的表征能力强于简单 CNN 或手工特征。
4. **迁移学习**: 预训练表征很好地迁移到 ESC-50 的环境声音类别上, 这些类别与 AudioSet 的本体有高度重叠。

5.3 误差分析

对失败样例的观察揭示了系统性模式:

易混淆类别 (传统方法):

- **雨声 vs. 水滴声**: 均为宽带脉冲声, 频谱相似
- **直升机 vs. 电锯**: 均呈现旋转机械的周期性谐波模式

- **键盘打字 vs. 时钟滴答**: 均为具有相似攻击特性的脉冲声

鲁棒类别:

- **狗叫**: 具有显著谐波结构与时间包络
- **警报**: 频率扫动特征明显, 易于 MFCC 捕捉
- **雷声**: 低频轰鸣与长衰减特征独特

预训练模型大多能通过语义理解消除这些混淆, 而非仅依赖声学相似性。

第二部分 任务二：声音分类

本部分的基础信号处理算法（FFT、STFT、MFCC 等）与任务一相同，此处不再赘述。以下直接进入分类实验。

6 帧长/帧移超参数实验

为研究不同帧长（n_fft）和帧移（hop_length）对分类性能的影响，我们使用 ResNet18 模型在 Mel 频谱图和 MFCC 特征上进行了系统性实验。

6.1 实验设置

- **模型**: ResNet18 (ImageNet 预训练)
- **训练轮数**: 30 epochs
- **学习率**: 1×10^{-3}
- **批大小**: 32
- **数据增强**: SpecAugment
- **评估指标**: Top-1 准确率

6.2 实验结果

表 22: 不同帧长/帧移配置下 ResNet18 的分类精度

帧长 (n_fft)	帧移 (hop_length)	Mel 准确率 (%)	MFCC 准确率 (%)
1024	256	76.25	68.75
2048	512	81.75	70.75
4096	1024	78.75	64.75
8192	2048	71.00	52.00

6.3 分析与讨论

6.3.1 最优配置

实验结果表明，**n_fft=2048, hop_length=512** 是最优配置，Mel 特征达到 **81.75%** 的最高准确率。这一配置在时间分辨率和频率分辨率之间取得了良好平衡。

6.3.2 特征类型对比

在所有帧长配置下，Mel 频谱图特征均优于 MFCC 特征，差距约为 7–19 个百分点。这是因为：

- Mel 频谱图保留了更完整的频谱信息

- MFCC 的 DCT 变换丢弃了部分对分类有用的细节
- ResNet 的卷积结构更适合处理 2D 频谱图输入

6.3.3 帧长影响规律

- **帧长过小 (1024)**: 频率分辨率不足, 难以区分相近频率成分
- **帧长适中 (2048)**: 时频分辨率平衡, 性能最优
- **帧长过大 (4096–8192)**: 时间分辨率下降, 丢失瞬态信息, 准确率显著下降

值得注意的是, 当 $n_{\text{fft}}=8192$ 时, MFCC 准确率骤降至 52%, 仅略高于随机猜测 (2%), 说明过长的帧长对 MFCC 特征的影响尤为严重。

7 深度学习模型实验

7.1 实验设置

我们评估了两种在 AudioSet 上预训练的先进架构:

- **BEATs (Iter3+)**: 一种基于 Transformer 且使用声学标记器的模型。
- **PANNs (CNN14)**: 一种针对音频优化的类 ResNet 标准 CNN 架构。

7.1.1 基础超参数

为确保公平比较, 两种模型共享以下配置:

- **学习率 (LR)**: 1×10^{-4} (AdamW)
- **权重衰减 (Weight Decay)**: 1×10^{-4}
- **批大小 (Batch Size)**: 64
- **训练轮数 (Epochs)**: 50

7.2 消融实验与对比结果

我们通过消融实验来隔离增强策略和解冻策略的影响。表 23 汇总了两种架构的关键发现。

表 23: BEATs 与 CNN14 架构下不同增强策略的详细性能对比。

模型	增强策略	骨干状态	准确率 (%)
BEATs	无 (基准线)	冻结	94.50%
	仅波形增强 (Waveform)	冻结	93.50%
	仅 SpecAugment	第 10 轮解冻	94.00%
	仅 Mixup	第 10 轮解冻	95.50%
	SpecAugment + Mixup	第 10 轮解冻	96.50%
CNN14	SpecAugment + Mixup	第 10 轮解冻	92.75%

7.3 分析与讨论

7.3.1 “增强 + 解冻”策略的普适性

本研究的一个核心发现是：数据增强与模型容量之间的交互作用是与架构无关的。

- **“冻结”陷阱：**对于 CNN14 和 BEATs 而言，在骨干网络冻结时应用 SpecAugment（遮蔽）或波形增强（失真）都会导致性能下降。
 - 对于 **CNN14**，冻结的卷积滤波器旨在寻找特定的频谱纹理。遮蔽破坏了这些纹理，导致固定滤波器输出零或噪声。
 - 对于 **BEATs**，冻结的标记器会误读失真的音频，从而生成错误的语义标记 (Tokens)。
- **解决方案：**在经过预热期 (Warmup) 后解冻骨干网络，使得两种架构都能进行自适应。CNN14 更新了其滤波器以增强对部分遮挡的鲁棒性，而 BEATs 则更新了其注意力机制以处理标记噪声。

7.3.2 为什么 BEATs 优于 CNN14 尽管使用了相同的优化策略，BEATs 的准确率仍显著更高。

- **语义 vs. 结构：** CNN14 依赖于局部的时频谱特征（边缘、纹理）。BEATs 使用掩码建模目标（类 BERT），能够捕获更高层级的语义信息。
- **鲁棒性：**相比于通常需要大量数据来从头学习不变特征的 CNN，BEATs 的 Transformer 架构结合 Mixup 证明了其在 ESC-50 这种小规模数据集（2000 个样本）上具有更强的泛化能力。

此外，CNN14 用的是手写的 dspcore 魔改后的版本，如果直接原本端到端的版本，用库函数提取特征，可能可以达到更好的效果。

7.3.3 超参数敏感性

CNN14 的调优过程映证了 BEATs 的实验结果，确认了以下参数的敏感性：

- **SpecAugment 宽度：** CNN14 对频率遮蔽比 BEATs 更敏感。我们必须减小 CNN14 的 freq_drop_width，这可能是因为 CNN 高度依赖连续的频率谐波。
- **解冻时机：**两种模型都受益于“预热”期（前 10 轮），即先仅训练分类头。立即解冻会导致两种模型的训练过程均出现不稳定。

7.4 结论

我们验证了一套适用于 CNN 和 Transformer 架构的鲁棒训练流水线。虽然盲目的增强会损害冻结的预训练模型，但 SpecAugment、Mixup 与延迟解冻的组合能够释放显著的性能提升。

该策略将 CNN14 的准确率提升至 **92.75%**，并将 BEATs 提升至 **96.50%** 的领先水平。结果表明，在 ESC-50 等数据受限的场景下，只要配合正确的正则化策略，基于声学标记器的 Transformer 模型 (BEATs) 比传统 CNN 具有更优越的表示能力。

8 大模型对比与极致优化

8.1 Linear Probing 方法

8.1.1 核心思想与核心策略

冻结预训练 CLAP 模型作为特征提取器，仅训练一个轻量级线性分类器进行音频分类。

三大核心策略

1. 冻结 CLAP 编码器（保留预训练知识）
2. 使用 5-fold 交叉验证（充分利用数据）
3. 训练简单线性分类器（快速高效）

Linear Probing 方法特点

特点	说明	优势
轻量级	只训练一个线性层	训练速度快
高效	特征提取一次完成	节省计算资源
稳定	保留预训练知识	不易过拟合
基线	作为其他方法的基准	便于对比

表 24: Linear Probing 方法特点

8.1.2 实现流程

1. **数据划分**: 采用 5-Fold 交叉验证, Fold 1-4 为训练集 (1600 样本), Fold 5 为测试集 (400 样本)
2. **模型冻结**: 加载 CLAP 模型后, 冻结所有参数 (`requires_grad=False`), 设置为评估模式
3. **特征提取**: 使用冻结的 CLAP 编码器提取 512 维音频嵌入, 特征只需提取一次
4. **分类器训练**: 训练单层线性分类器 (参数量仅 25,650), 使用 Adam 优化器, 学习率 0.001

表 25: Linear Probing 训练配置

配置项	值	说明
特征维度	512	CLAP 音频嵌入维度
分类器	单层线性	$\text{Input}(512) \rightarrow \text{Output}(50)$
优化器	Adam	学习率 0.001
训练轮数	50	通常 10-20 轮即可收敛

8.1.3 预期性能

性能对比

- Zero-shot (基础): 93.90%
- Zero-shot (提示词优化): 95.00%
- Linear Probing: 96.50-97.50%

8.2 Ultimate Optimization 方法

8.2.1 核心思想与核心策略

通过多维度集成策略，最大化利用预训练 CLAP 模型的特征提取能力。

五大核心策略

1. 极强的 TTA (20 次增强)
2. 训练集和测试集都使用强增强
3. Label Smoothing
4. 多尺度特征融合
5. 自集成 (训练多个模型并投票)

8.2.2 技术实现详解

表 26: Ultimate Optimization 各技术详解

技术	配置	原理
超强 TTA	训练 10 次/测试 20 次	对同一音频多次随机增强采样，计算 mean/std/max/min 四种统计量拼接为 $4 \times 512 = 2048$ 维特征
Label Smoothing	$\epsilon = 0.1$	软化标签，目标类概率为 0.9，其他类均分 0.1，防止过拟合
增强分类器	3 层全连接	$2048 \rightarrow 512 \rightarrow 256 \rightarrow 50$ ，含 Batch-Norm 和 Dropout(0.4/0.3)
训练优化	AdamW + Cosine	权重衰减 1e-4，余弦退火学习率，Early Stopping (patience=20)
模型集成	3 个模型	不同随机种子训练，预测概率加权平均

表 27: 集成方法对比

方法	计算方式	优点	适用场景
简单平均	$\text{mean}(\text{probs})$	简单有效	模型性能相近时
加权平均	$\Sigma(w_i \cdot \text{probs}_i)$	重视好模型	模型性能有差异时
多数投票	$\text{mode}(\text{preds})$	鲁棒性强	需要硬决策时

8.2.3 性能提升路径

渐进式优化

1. 阶段 1: 基础优化 - 添加简单 TTA (5x)
2. 阶段 2: 特征增强 - 多尺度特征融合
3. 阶段 3: 模型增强 - 更深的分类器网络
4. 阶段 4: 集成优化 - 模型集成 + Label Smoothing

最终性能: 97% → 98%

8.3 两种方法对比

8.3.1 方法对比表

维度	Linear Probing	Ultimate Optimization
准确率	95-96%	98%+
训练时间	~30s	~5min
特征增强	无	20x TTA + 多尺度
分类器	单层线性	3 层全连接
正则化	无	Label Smoothing + Dropout
模型集成	单模型	3 模型集成
参数量	25K	395K
适用场景	快速基线	极致性能

表 28: 两种方法全面对比

8.3.2 结构对比

模型	结构	参数量
Linear Probe	Input → Linear → Output	25,650
Enhanced (Ultimate)	Input → 512 → 256 → Output	395,450

表 29: 分类器结构对比

8.3.3 性能提升分析

从 Linear Probing 到 Ultimate Optimization 的性能提升主要来自：

1. **TTA 增强** (+1.5%): 20 次增强采样显著提高特征鲁棒性
2. **多尺度特征融合** (+0.5%): mean/std/max/min 统计特征提供更丰富的表示
3. **深层分类器** (+0.3%): 3 层网络更好地拟合复杂决策边界
4. **Label Smoothing** (+0.4%): 防止过拟合，提高泛化能力
5. **模型集成** (+0.8%): 3 个模型的预测融合降低方差

9 将分类模型用于检索任务

我们将训练好的分类模型应用于声音检索任务，以对比有无机器学习的效果。

9.1 方法说明

将分类模型用于检索的核心思路是：去掉最后的分类层，将倒数第二层的特征向量作为音频的嵌入表示，然后计算查询与候选库之间的余弦相似度进行检索。

具体实现方式：

- **CNN**: 使用在 ESC-50 上有监督训练的 5 层卷积网络，提取全局平均池化后的特征向量
- **Contrastive**: 使用监督对比学习 (SupCon) 目标训练的 CNN，直接优化嵌入空间的类内紧凑性和类间分离性
- **BEATs/CLAP**: 使用预训练模型的音频编码器提取嵌入向量

9.2 有无机器学习的效果对比

表 30: 分类模型用于检索：有无机器学习的效果对比

方法	类型	Hit@1 (%)	Hit@10 (%)	MRR	相比 DTW 提升
传统方法（无机器学习）					
M1: MFCC+Pool	手工特征	26.40	65.00	0.374	-5.45pp
M5: MFCC+DTW	手工特征 + 对齐	31.65	70.45	0.430	基线
M6: BoAW	无监督聚类	25.75	65.20	0.372	-5.25pp
有监督机器学习					
CNN	有监督分类	71.95	82.55	0.752	+12.10pp
Contrastive	对比学习	71.75	87.80	0.767	+17.35pp
预训练大模型					
BEATs	预训练 Transformer	95.15	99.10	0.965	+28.65pp
CLAP	预训练多模态	96.00	99.50	0.973	+29.05pp

9.3 分析与讨论

9.3.1 机器学习带来的显著提升

从表 30 可以清晰地看到机器学习方法的优势：

1. **有监督 CNN vs 传统方法**: CNN 的 Hit@10 达到 82.55%，比最佳传统方法 DTW (70.45%) 提升 **12.10 个百分点**。这说明即使是简单的有监督分类网络，其学习到的特征表示也显著优于手工设计的 MFCC 特征。
2. **对比学习的额外收益**: Contrastive 方法 (87.80%) 比普通 CNN (82.55%) **再提升 5.25pp**。对比学习目标直接优化嵌入空间的结构，使得同类样本聚集、异类样本分离，更适合检索任务。
3. **预训练大模型的巨大优势**: CLAP (99.50%) 比 CNN (82.55%) **提升近 17pp**，比传统 DTW 提升 **29pp**。这体现了大规模预训练数据和更强模型架构的价值。

9.3.2 为什么分类模型能用于检索

分类模型能够用于检索任务的本质原因是：**分类任务迫使模型学习具有判别性的特征表示**。

- 为了正确分类 50 个类别，模型必须学会区分不同类别声音的本质特征
- 这些判别性特征自然地使得同类样本在嵌入空间中接近，异类样本远离
- 因此，分类模型的中间层特征可以直接用于基于相似度的检索

9.3.3 对比学习 vs 分类学习

对比学习 (Contrastive) 比普通分类学习 (CNN) 更适合检索任务，原因包括：

- **目标函数更匹配**: 对比学习直接优化样本间的相似度关系，而分类学习只优化决策边界
- **嵌入空间更均匀**: 对比学习产生的嵌入分布更均匀，避免了分类模型可能出现的“特征塌缩”问题
- **对困难样本更鲁棒**: 对比学习的负样本挖掘机制使模型更关注难区分的样本对

10 与大模型的系统对比

10.1 模型规模与性能对比

表 31: 不同规模模型的分类性能系统对比

模型	类型	预训练数据	分类准确率 (%)	检索 Hit@10 (%)
小规模模型 (从头训练或 <i>ImageNet</i> 预训练)				
ResNet18 (Mel)	CNN	ImageNet	81.75	—
ResNet18 (MFCC)	CNN	ImageNet	70.75	—
CNN (5 层)	CNN	无	—	82.55
中规模模型 (<i>AudioSet</i> 预训练)				
CNN14 (PANNs)	CNN	AudioSet (2M)	92.75	—
大规模预训练模型				
BEATs (Iter3+)	Transformer	AudioSet (2M)	96.50	99.10
CLAP (Zero-shot)	多模态	AudioSet+Text	93.90	—
CLAP (Linear Probe)	多模态	AudioSet+Text	96.50	99.50
CLAP (Ultimate)	多模态	AudioSet+Text	98.00+	99.50

10.2 关键发现

10.2.1 预训练规模的重要性

- 从头训练 vs 预训练:** ResNet18 在 ImageNet 上预训练后迁移到音频任务 (81.75%)，虽然 ImageNet 是图像数据集，但预训练仍然提供了有用的底层特征提取能力。
- 领域内预训练的优势:** CNN14 在 AudioSet(200 万音频样本)上预训练，准确率达到 92.75%，比 ImageNet 预训练的 ResNet18 **高出 11pp**。这说明领域内预训练数据的重要性。
- 大模型的显著优势:** BEATs (96.50%) 和 CLAP (98%+) 进一步提升性能，体现了更大模型容量和更先进架构 (Transformer、多模态对齐) 的价值。

10.2.2 Zero-shot 能力的惊人表现

CLAP 的 Zero-shot 分类 (无需在 ESC-50 上训练) 达到 **93.90%**，这一结果有重要意义：

- 超越从头训练的小模型:** Zero-shot CLAP(93.90%)显著超过从头训练的 ResNet18(81.75%)，提升超过 12pp
- 无需标注数据:** Zero-shot 方式完全不需要 ESC-50 的训练数据，仅依靠预训练知识和文本描述

10.2.3 架构的影响: CNN vs Transformer

表 32: 相同优化策略下 CNN 与 Transformer 架构对比

模型	架构	增强策略	准确率 (%)
CNN14	CNN	SpecAugment + Mixup + 解冻	92.75
BEATs	Transformer	SpecAugment + Mixup + 解冻	96.50
Transformer 相对提升			+3.75pp

在相同的训练策略下, BEATs (Transformer) 比 CNN14 (CNN) 高 3.75pp, 原因包括:

- **全局建模能力:** Transformer 的自注意力机制能够捕获长距离依赖, 更好地建模音频的全局结构
- **声学标记器:** BEATs 使用离散声学标记进行自监督预训练, 学习到更丰富的语义表示
- **数据效率:** Transformer 架构在小数据集 (ESC-50 仅 2000 样本) 上展现出更强的泛化能力

10.3 小模型 vs 大模型: 如何选择

表 33: 不同场景下的模型选择建议

场景	推荐模型	理由
资源受限 / 边缘部署	ResNet18	参数少、推理快、精度可接受
标准服务器部署	CNN14 / BEATs	精度与效率的良好平衡
追求最高精度	CLAP Ultimate	98%+ 精度, 适合精度敏感场景
无标注数据	CLAP Zero-shot	无需训练, 开箱即用
需要可解释性	传统方法 + CNN	特征可理解, 便于调试

第三部分 总结与分工

11 项目总结

本项目完整实现了基于 ESC-50 数据集的声音检索与分类系统, 主要成果包括:

1. **自实现 DSP 算法:** 从零实现了 FFT (Cooley-Tukey 算法)、STFT、MFCC 等核心信号处理算法, 并使用 Numba JIT 进行加速优化, 达到了与标准库相当的精度 (相对误差 $< 10^{-10}$)。
2. **全面的检索系统:** 实现了 13 种检索方法, 从传统的池化方法 (M1-M4)、DTW (M5)、BoAW (M6-M7), 到深度学习方法 (CLAP、BEATs), 最终 CLAP 达到 99.50% Hit@10, 显著超越 DTW 基线的 70.45%。

3. **多模型分类对比**: 系统比较了 ResNet18、CNN14、BEATs、CLAP 等模型, 通过 SpecAugment、Mixup、延迟解冻等策略, BEATs 达到 96.50%, CLAP Ultimate Optimization 达到 98%+。
4. **超参数敏感性分析**: 对帧长/帧移、特征类型、CMVN 策略等进行了全面的消融实验, 发现 n_fft=2048, hop_length=512 为最优配置, 全局 CMVN 带来 +4.55pp 提升。

12 团队分工

成员	主要贡献
刘嘉俊	项目统筹、自主算法实现、分类任务方法前期试验、报告整合
孙浩翔	检索系统实现、检索任务调优、效率优化
田原	报告撰写、流程图绘制、分类任务的 CLAP SOTA 调优
叶栩言	消融实验设计、数据增强策略、PPT 制作
林梓杰	BEATs PANNs 调优、特征工程、PPT 制作

表 34: 团队分工